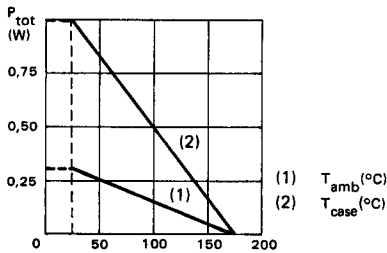


Compl. of BSX 51, A and BSX 52, A

- LF amplification
 Amplification BF
- Low current switching
 Commutation faible courant

V_{CEO}	$\left\{ \begin{array}{l} -25 \text{ V BSW 21, BSW 22} \\ -50 \text{ V BSW 21 A, BSW 22 A} \end{array} \right.$
h_{21E} (-2 mA)	$\left\{ \begin{array}{ll} 75 - 225 & \text{BSW 21, A} \\ 180 - 540 & \text{BSW 22, A} \end{array} \right.$
f_T	150 MHz min.

Maximum power dissipation
 Dissipation de puissance maximale



Case TO-18 – See outline drawing CB-6 on last pages
 Boîtier Voir dessin coté CB-6 dernières pages



Weight : 0,32 g.
 Masse

Collector is connected to case
 Le collecteur est relié au boîtier

ABSOLUTE RATINGS (LIMITING VALUES)
 VALEURS LIMITES ABSOLUES D'UTILISATION

$T_{amb} = +25^\circ\text{C}$

(Unless otherwise stated)
 (Sauf indications contraires)

		BSW 21 BSW 22	BSW 21 A BSW 22 A	
Collector-base voltage <i>Tension collecteur-base</i>	V_{CBO}	-25	-50	V
Collector-emitter voltage <i>Tension collecteur-émetteur</i>	V_{CEO}	-25	-50	V
Emitter-base voltage <i>Tension émetteur-base</i>	V_{EBO}	-5	-5	V
Collector current <i>Courant collecteur</i>	I_C	-0,2	-0,2	A
Power dissipation <i>Dissipation de puissance</i>	P_{tot}	0,3 1	0,3 1	W
Junction temperature <i>Température de jonction</i>	max. T_j	175	175	°C
Storage temperature <i>Température de stockage</i>	min. T_{stg} max.	-65 +175	-65 +175	°C °C

STATIC CHARACTERISTICS
CARACTERISTIQUES STATIQUES
 $T_{amb} = 25^{\circ}C$ (Unless otherwise stated)
(Sauf indications contraires)

	Test conditions <i>Conditions de mesure</i>			Min. Typ. Max.	
Collector-base cut-off current <i>Courant résiduel collecteur-base</i>	$V_{CB} = -25 V$ $I_E = 0$	I_{CBO}	BSW 21 BSW 22	-0,002 -0,5	μA
	$V_{CB} = -50 V$ $I_E = 0$		BSW 21 A BSW 22 A	-0,002 -0,5	
	$V_{CB} = -25 V$ $I_E = 0$ $T_{amb} = 100^{\circ}C$		BSW 21 BSW 22	-15	
	$V_{CB} = -50 V$ $I_E = 0$ $T_{amb} = 100^{\circ}C$		BSW 21 A BSW 22 A	-15	
Emitter-base cut-off current <i>Courant résiduel émetteur-base</i>	$V_{EB} = -5 V$ $I_C = 0$	I_{EBO}		-0,005 -0,5	μA
Collector-emitter breakdown voltage <i>Tension de claquage collecteur-émetteur</i>	$I_C = -10 mA$ $I_B = 0$	$*V_{(BR)CEO}$	BSW 21 BSW 22	-25	V
			BSW 21 A BSW 22 A	-50	
Static forward current transfer ratio <i>Valeur statique du rapport de transfert direct du courant</i>	$V_{CE} = -4,5 V$ $I_C = -2 mA$	h_{21E}	BSW 21 BSW 21 A	75 225	
			BSW 22 BSW 22 A	180 540	
Collector-emitter saturation voltage <i>Tension de saturation collecteur-émetteur</i>	$I_C = -50 mA$ $I_B = -3 mA$	V_{CEsat}		-0,2 -0,5	V
Base-emitter saturation voltage <i>Tension de saturation base-émetteur</i>	$I_C = -50 mA$ $I_B = -3 mA$	V_{BEsat}		-0,8 -1,3	V

DYNAMIC CHARACTERISTICS (for small signals)
CARACTERISTIQUES DYNAMIQUES (pour petits signaux)

Transition frequency <i>Fréquence de transition</i>	$V_{CE} = -5 V$ $I_C = -10 mA$ $f = 100 MHz$	f_T		150 300	MHz
Output capacitance <i>Capacité de sortie</i>	$V_{CB} = -5 V$ $I_E = 0$ $f = 1 MHz$	C_{22b}		4 8	pF

* Pulsed Impulsions $t_p = 300 \mu s$ $\delta < 2\%$